

## معامل الشكل خلال طور التقدم في الري الشرطي

**أحمد علي محمد أمين**  
 حقي إسماعيل ياسين  
مدرس مساعد  
كلية الهندسة/جامعة الموصل  
أستاذ مساعد

### المستخلص

تضمنت الدراسة الحالية إيجاد معامل شكل موحد يكافئ كل من معامل الشكل السطحي (0.77) ومعامل الشكل تحت السطحي (معامل كيفر) المستخدمان في الموازنة الحجمية، وباعتماد عوامل تصميم افتراضية شملت كل من طول الشريط وانحدار الشريط ومعدل الجريان لوحدة عرض الشريط ومعامل خشونة ماننك إضافة إلى نوع التربة، حيث تم إيجاد الدالة الأساسية لتقدم الماء ثم معامل الشكل تحت السطحي وبعدها إيجاد معامل الشكل الموحد. قدمت الدراسة معادلة لحساب معامل الشكل الموحد كدالة لكل من مسافة تقدم الماء وطول الشريط وانحدار الشريط ومعدل الجريان لوحدة عرض الشريط ومعامل خشونة ماننك وأس دالة الارتشاح دون الحاجة إلى بيانات تقدم الماء لأيجاد أس دالة التقدم  $b$  الداخلي في حساب معامل الشكل تحت السطحي (معامل كيفر). وبينت الدراسة عامةً حدود تغير قيم معامل الشكل الموحد .  
 الشريط  $0.75$  هي  $(0.76 - 0.73)$   $0.4$  هو

الموازنة الحجمية : الري الشرطي.

## Shape Factor During Advance Phase in Border Irrigation

### Abstract

The present study proposed a new single shape factor to be used in volumetric balance equation. The new single shape factor combines the surface shape factor (0.77) and the subsurface shape factor (Kiefer factor) in one shape factor. By depending on hypothetical design factors: border length, border slope, inflow rate per unit width of border, manning coefficient, as well as soil type, the power function of water advance, the subsurface shape factor and single shape factor have been found respectively. The study introduced an equation to calculate the single shape factor as a function of water advance distance, border length, border slope, inflow rate per unit width of border , manning coefficient and the exponent of infiltration function without needing to data for water advance or the exponent of advance function ( $b$ ), which is used to calculate the subsurface shape factor (Kiefer factor). Generally, the study demonstrated that the variation limits of the values of the single shape factor are (0.73-0.76) with average of 0.75 when the ratio of advance distance to total border length greater than or equal to 0.4.

**Key words:** shape factor, volume balance, advance phase , border irrigation.

هناك العديد من المفاهيم الرياضياتية التي تستخدم في تحليل ودراسات وتصاميم الري السطحي والتي تساعدها في اختيار بدائل عديدة من عناصر التصميم مثل التصريف الداخلي وطول المضمار والميل وغيرها، وثانياً في تقويم تأثير تغير خصائص بعض عوامل التصميم كتغير خصائص الارشاد ورطوبة التربة وخشونة السطح مع الزمن على أداء منظومة الري (حامد وباسين، 1992) [1]. ومن النماذج البسيطة والشائعة الاستخدام في تطبيقات الري السطحي نموذج أو طريقة الموازنة المائية الحجمية والتي يمكن أن تكتب ولوحدة عرض من الري الشرطي خلال طور تقدم الماء بالصيغة الآتية (Christiansen et al. 1966) [2] و (Elliott and Walker 1982) [3]:

$$q * t_x = \sigma_y * d_0 * x + \sigma_z * D_0 * x \quad (1)$$

حيث  $q$  معدل الجريان لوحدة عرض الشريط (م مكعب/ دقيقة/م)، و  $t_x$  زمن تجهيز الماء (دقيقة)، و  $d_0$  عمق الجريان أعلى مضمار الري (م)، و  $x$  مسافة تقدم الماء عند الزمن  $t_x$  (م)، و  $D_0$  عمق الجريان أعلى مضمار

الشكل السطحي والذي يمثل نسبة معدل عمق الجريان على امتداد مسافة تقدم الماء  $x$  عمق الجريان أعلى مضمار الري  $d_0$  وأن قيمة هذا المعامل تتراوح بين 0.75-0.80 (Walker and Skogerboe, 1987) [4] وقترح (Walker and Skogerboe, 1987) [4] عالي مضمار الري  $D_0$  يعبر عن وصف تقدم الماء على امتداد الشريط بـ  $\sigma_z$

أعلى مضمار الري  $D_0$  يعبر عن وصف تقدم الماء على امتداد الشريط بـ  $\sigma_z$  (Fok and Bishop, 1965) [5]:

$$x = a t_x^b \quad (2)$$

حيث  $a$  ثوابت وضعية، وكما يعبر عن  $x$  التربة بدالة كوتاكوف الآتية:

$$D = c t_x^m \quad (3)$$

حيث  $D$  (دقيقة) و  $c$  ثوابت وضعية. وعندما  $t_x$  في المعادلة (3) يساوي  $D_0$  في المعادلة (1) يساوي  $t_x$  في المعادلة (3) علىأس كل من دال  $m$

$\sigma_z$  علىأس كل من دال  $b$  (Elliot and Walker, 1965) [5] (Fok and Bishop, 1965) [5] والذى يمكن التعبير عنه بمعامل كifer (Kiefer, 1982) [3] (Walker and Skogerbe, 1987) [4]

$$\sigma_z = (1 + b + m - bm) / (1 + b + m + bm) \quad (4)$$

لقد تم تطبيق طريقة الموازنة المائية الحجمية في الري السطحي من قبل العديد من الباحثين لغرض دراسة طور تقدم الماء أو إيجاد دالة الارشاد، ففي دراسة لطور التقدم في الري السطحي قام (Valiantzas, 1997a) [6] بوضع صيغة جديدة للموازنة الحجمية وباستخدام معامل الشكل تحت السطحي متغير مع الزمن، كما بين (Valiantzas, 1997b) [7] (Kiefer, 1982) [3] متغير مع الزمن وقدم معادلة جديدة لمعامل الشكل السطحي كدالة للزمن.

(Alazba, 1999) [8] صيغة بسيطة ودقيقة لمعامل الشكل السطحي في دالة تقدم مفترحة لابعدية وذلك من خلال تطويره لحل صريح لدالة التقدم في الري السطحي وباستخدام نموذج الموازنة الحجمية. وطور (Theodor et al., 2011) [9] طريقة جديدة لإيجاد معامل الشكل تحت السطح دون معادلة لتخمين معاملات الارشاد ومعامل خشونة مانك بافتراض دالة أسيّة لشكل مقد الجريان السطحي واعتماد معادلة فليب (Philip) لتمثيل الارشاد حيث يتطلب ذلك بيانات متعددة لتقدم الماء. وتهدف الدراسة الحالية إلى إيجاد معامل شكل موحد يكافئ (0.77) [10] ومعامل الشكل تحت السطحي (معامل كifer) يتم استخدامه في الموازنة الحجمية، حيث تصبح المعادلة (1) بالصيغة الآتية وبمعامل شكل موحد  $\sigma$ :

$$q * t_x = \sigma * x * (d_0 + D_0) \quad (5)$$

تم اعتماد عوامل تصميم افتراضية واسعة تشمل كل من طول الشريط وانحدار الشريط ومعدل الجريان لوحدة عرض الشريط وعامل خشونة مانعك

بتصنيف يعتمد معدل الارشاح والذى منه تم إيجاد  $m$  فيها 4 ( $m$  / دقيقة $^{m/1}$ )، ويبين الجدول (1) القيم الافتراضية التي تم اعتمادها في البحث الأفتراضية.

(1) القيم الافتراضية لعوامل التصميم المعتمدة

400	320	240	160	80	أطوال الشريط (م)
2.0	1.55	1.1	0.65	0.2	انحدارات الشريط (%)
0.9	0.72	0.54	0.36	0.18	معدلات الجريان (م <sup>3</sup> /دقيقة) / م
*0.24	0.20	0.16	0.12	0.08	( <sup>3/1</sup> / )
16	13	10	7.0	4.0	( / )
0.599	0.574	0.543	0.501	0.438	

\* حاجم ویاسین، (1992)[1].

تضمن طريقة البحث إيجاد الدالة الأساسية لتقدير الماء وبالأسلوب الموضح عند كل من Walker and Skogerboe 1987 [4] و(Basien 1997) [11] وثانياً إيجاد الشريط  $S$  (%) للقيم الافتراضية وتحديد الجريان لوحدة الشريط  $q$  ( $m^3 / s$ ) (Elliott 1982) [3] and Walker: إيجاد عمق الجريان أعلى مضمار الري  $d_0$  والذي يعتبر ثابت بعد وصول الماء مسافة تقدم تزيد على 50:

( يتم فرض قيمة أولية لأس دالة التقدم  $t$  حيث القيمة العملية  $0.3 < b < 0.9$  )  
 $\sigma_{\text{كير}} = \text{إيجاد} \cdot (4)$

( ) يتم تطبيق الموازنة الحجمية بصيغة المعادلة (1) بعد التعويض عن  $D_0$  بـ الإرتياح لمعادلة (3) وباعتماد القيم الأفتراضية المحددة في ( )  $x$  كامل طول الشريط لإيجاد  $t$   $x$  نصف طول الشريط لإيجاد  $t_{1/2}$  لإيجاد :

:  $t_{l/2}$   $l/2$   $t_l$   $l$  (2)  $b$  یم ایجاد (۴)

حيث يتم تغيير القيمة المفروضة وـ  $b$  المفروضة وطبقاً للدقة المحددة .

٦) يتم المقارنة بين قيمة  $b$  وقيمة  $b$  يتم الحصول على أمثل قيمة  $b$  [١٢] Microsoft Excel Solver (أمين، 2010)

( $b$ ) بعد إيجاد أمثل قيمة لـ $a$  ثابت دالة التقدم  $t_1$  ومن مسافة وزمن التقدم !

$$(5) \text{ بعد التعويض} \quad I \dots 70 \quad 60 \quad 50 \quad (2) \quad t_x \quad (3) \quad D_0 \quad (\text{ يتم إيجاد})$$

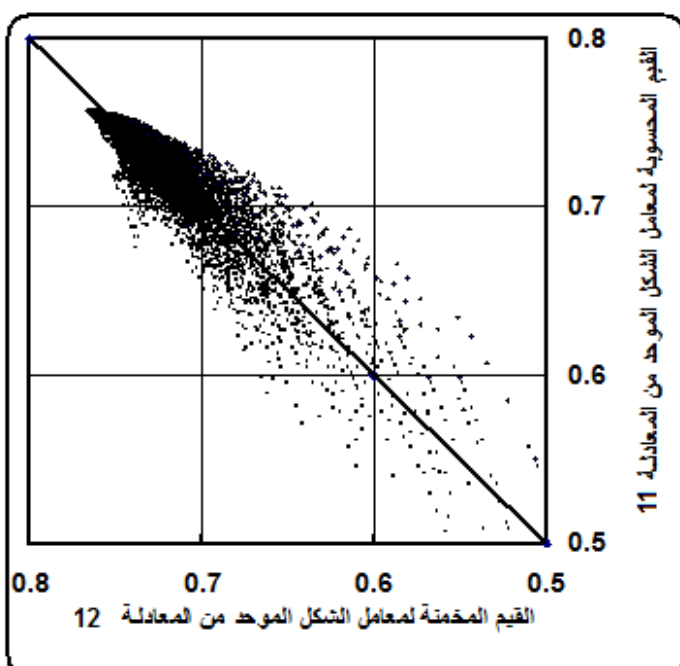
تناول للقيم الافتراضية لمعاملات التصميم طول الشريط /

62500

(م) وانحدار الشريط  $S$  (%) ومعدل الجريان لوحدة عرض الشريط  $q^3$  ( / )  
 وان لكل طول للشريط يتضمن حالات مسافة التقدم  $m$  70 60 50 ... حتى كامل طول الشريط  $m$ .  
 وبالاستعابة بالبرنامج الإحصائي (spss) Special Program for Statistical System ، واستخدام طريقة الانحدار  
 اللامختلط تم إيجاد معامل الشكل الموحد  $\sigma$  كداد لمعاملات التصميم :

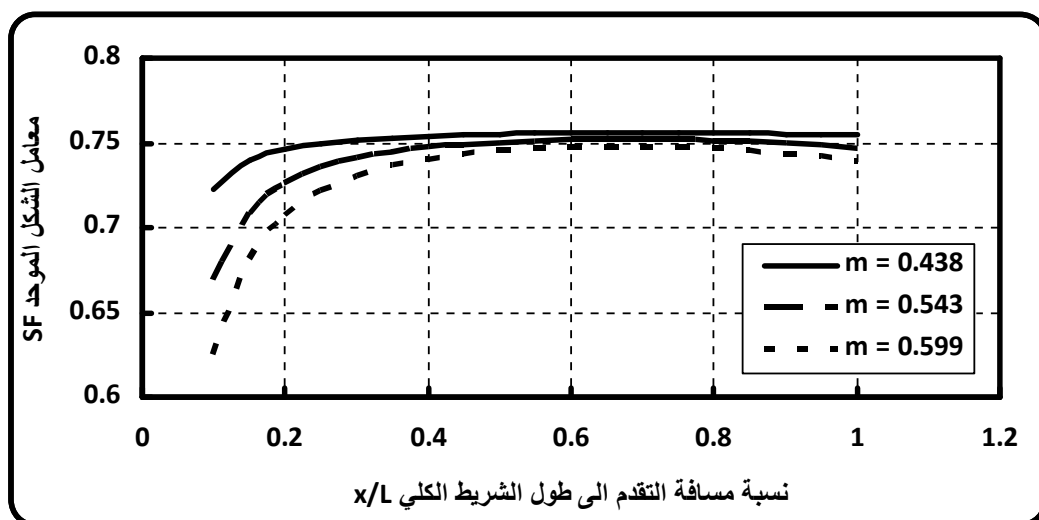
$$\sigma = \frac{[1.4676 (nq)^{0.6} / s^{0.3} - 0.0214 l^{0.5249} m^{5.2235} \phi^{4.0612}]}{[1.9351 (nq)^{0.6} / s^{0.3} + 0.1095 \phi^{-1.5736} m^{4.7107}]} .. (12)$$

حيث  $\phi$  تمثل نسبة مسافة التقدم  $a$  إلى طول الشريط الكلي / ، بهذه المعدلة يمكن ايجاد معامل الشكل الموحد لتطبيق  $b$  بيانات تقدم الماء لأيجاد المعجمية بصيغة المعادلة (5)

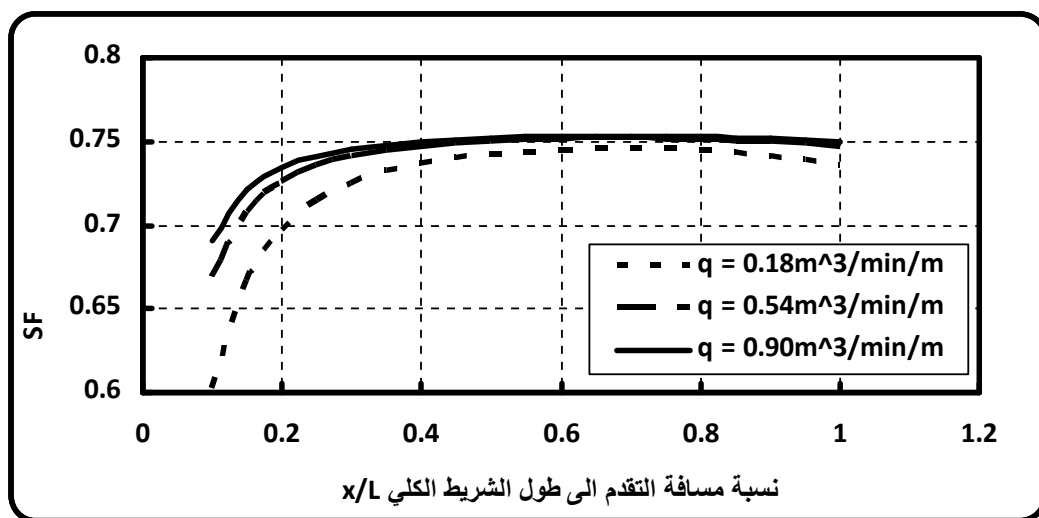


## الشكل(1): المقارنة بين القيم المحسوبة والمختبرة لمعامل الشكل الموحد

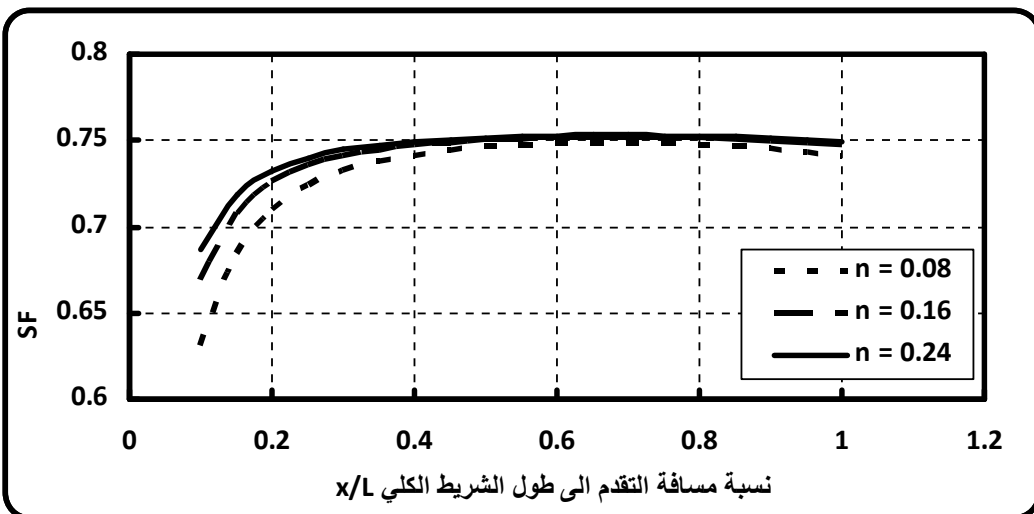
المعادلة (12) حيث كان معامل التحديد ( $r^2$ ) 0.886 ويتبيّن من هذا الشكل عامّةً إنَّ أغلب القيم لمعامل الشكل الموحد تقع ضمن حدود -0.68- 0.75. ولغرض توضيّح تأثير عوامل التصميم في المعادلة (12) على معامل الشكل الموحد تبيّن الأشكال (5-2) تغيير معامل الشكل الموحد مع نسبة مسافة التقدّم إلى طول الشريط الكلي وذلك لقيمة مختلفة لأس دالة الارتشاح ولمعدلات جريان مختلفة لوحدة عرض الشريط ولمعاملات مختلفة لخشونة ماننك ولانحدارات مختلفة للشريط في حالة طول الشريط على التوالي، يتضح من هذه الأشكال أنَّ معامل الشكل الموحد يزداد مع زيادة نسبة التقدّم وإنَّ هذه الزيادة في معامل الشكل الموحد تقل مع زيادة نسبة التقدّم إلى أنَّ تصبح نسبة التقدّم 0.7 وبعد ذلك يازديد نسبة التقدّم بقل معامل الشكل الموحد، إنَّ تغيير معامل الشكل الموحد مع نسبة مسافة التقدّم إلى طول الشريط الكلّي يكون



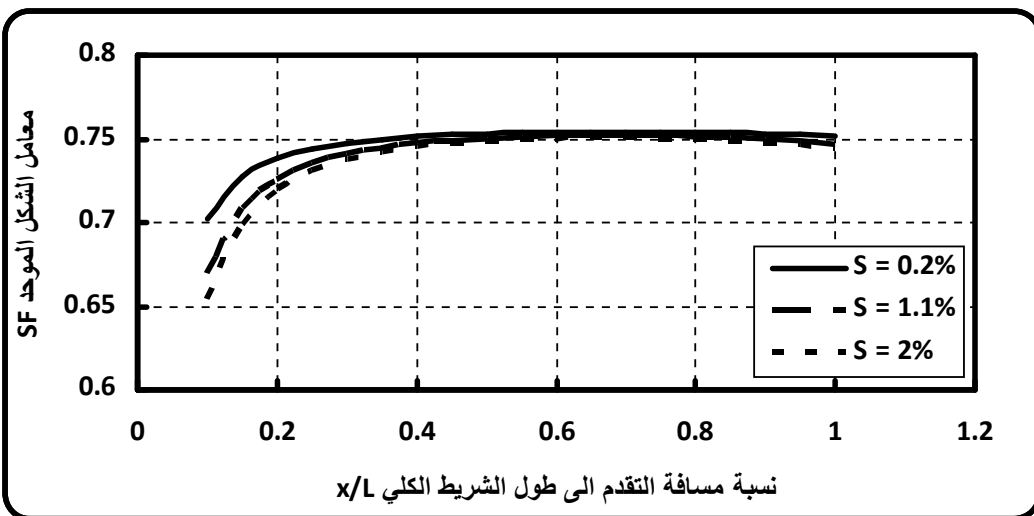
(2): تغير معامل الشكل الموحد مع نسبة مسافة التقدم إلى طول الشريط الكلي لقيم مختلفة لأس دالة الإرتشاح في حالة طول الشريط 240 و معدل الجريان لوحدة عرض الشريط  $0.54 \text{ دقيقة}/\text{م}^3$  و انحدار الشريط  $1.1\%$ .



(3): تغير معامل الشكل الموحد مع نسبة مسافة التقدم إلى طول الشريط الكلي ولمعدلات جريان مختلفة لوحدة عرض الشريط في حالة طول الشريط 240 و انحدار الشريط  $1.1\%$  و  $0.543$



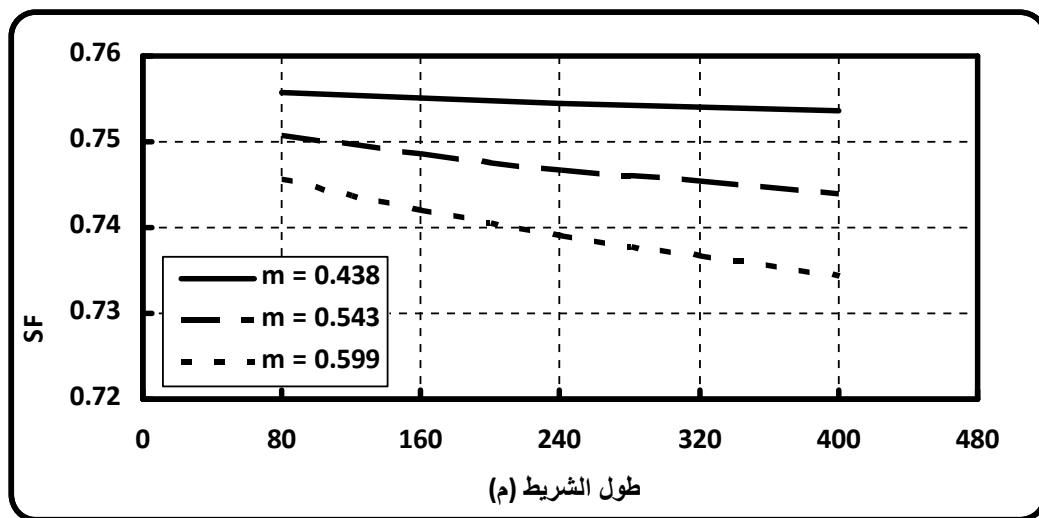
(4): تغير معامل الشكل الموحد مع نسبة مسافة التقدم إلى طول الشريط الكلي لمعاملات مختلفة لخشونة ماننك في حالة طول الشريط 240م ومعدل الجريان لوحدة عرض الشريط  $0.54 \text{ م}^3/\text{دقيقة}/\text{م}$  و انحدار الشريط 1.1%  
 $0.543$



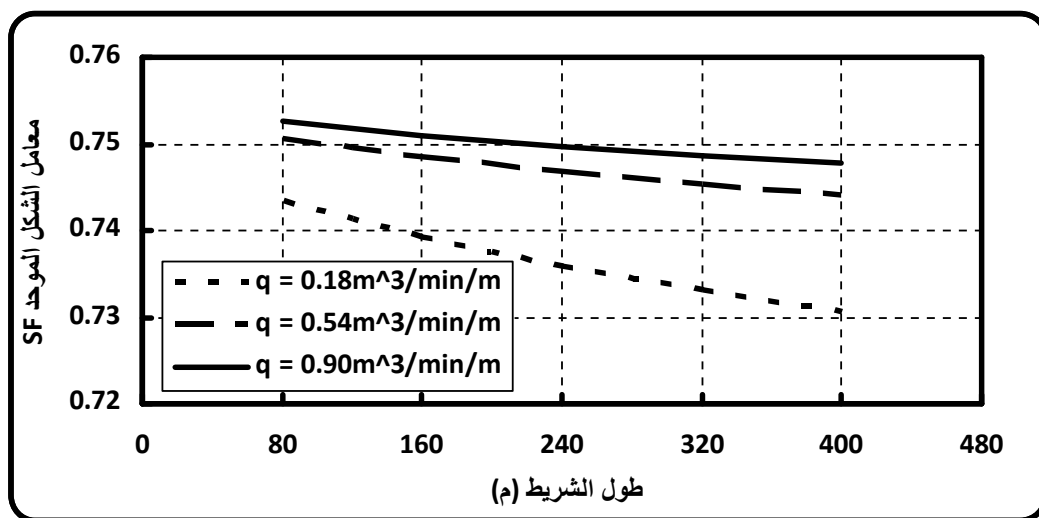
الشكل(5): تغير معامل الشكل الموحد مع نسبة مسافة التقدم إلى طول الشريط الكلي لأنحدارات مختلفة للشريط في حالة طول الشريط 240م ومعامل ماننك 0.16 ومعدل الجريان لوحدة عرض الشريط  $0.54 \text{ م}^3/\text{دقيقة}/\text{م}$  واس دالة الارتشاح 0.543

متناهراً لقيمة من 0.4 حتى 1 لنسبة التقدم وذلك حول المحور الذي يمر بالقيمة 0.7 لنسبة التقدم، كما تبين الأشكال أن معامل الشكل الموحد يتغير طردياً مع كل من معدل الجريان لوحدة عرض الشريط ومعامل خشونة ماننك وعكسياً مع كل من أس دالة الارتشاح وأنحدار الشريط. وتبيّن الأشكال (9-6) تغير معامل الشكل الموحد مع طول الشريط لقيم مختلفة لأس دالة الارتشاح ولمعدلات جريان مختلفة لوحدة عرض الشريط ولمعاملات مختلفة لخشونة ماننك وأنحدارات مختلفة للشريط على التوالي وذلك في حالة نسبة مسافة التقدم إلى طول الشريط الكلي 0.5، يتضح من هذه الأشكال أن معامل الشكل الموحد يقل مع زيادة الطول الكلي للشريط وان قيم معامل الشكل الموحد محصورة بين 0.756-0.73 و هذا عند نسبة التقدم 0.5 وبالعودة إلى الأشكال (5-2) فان القيم المحصورة بين 0.756-0.73 لمعامل الشكل الموحد هي نفسها عند نسبة التقدم 0.9 ومساحة التغير تكون أقل عند نسب التقدم 0.6-0.8. وقد ثبتت دراسة قيم معامل الشكل الموحد الناتجة من (11) ك في الحالات التي تكون فيها نسبة مسافة التقدم إلى طول الشريط الكلي 0.4 حيث تبين أن (%) 87

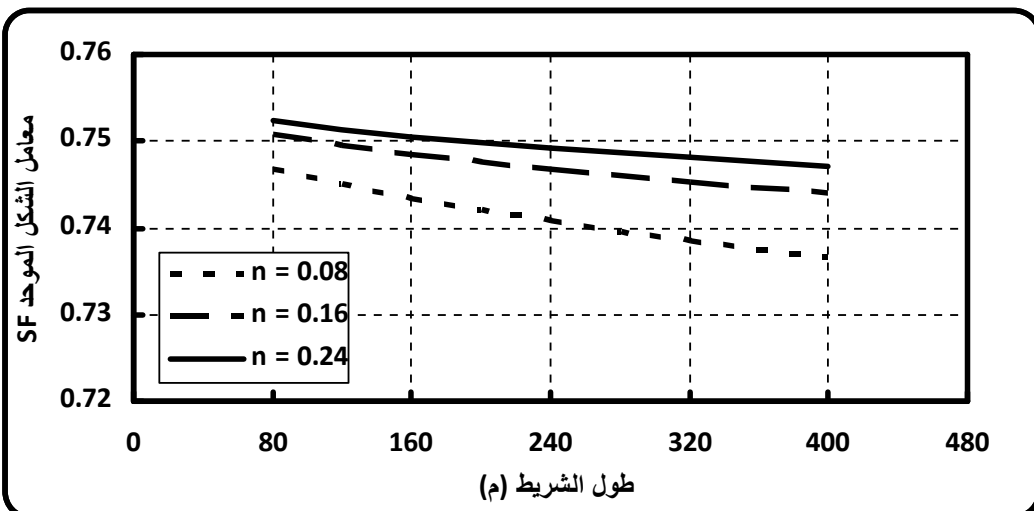
قيمة معامل الشكل الموحد تتغير من 0.73 إلى 0.76، مما تقدم أعلاه فهناك إمكانية في التعويض عن قيمة  $\lambda$  :



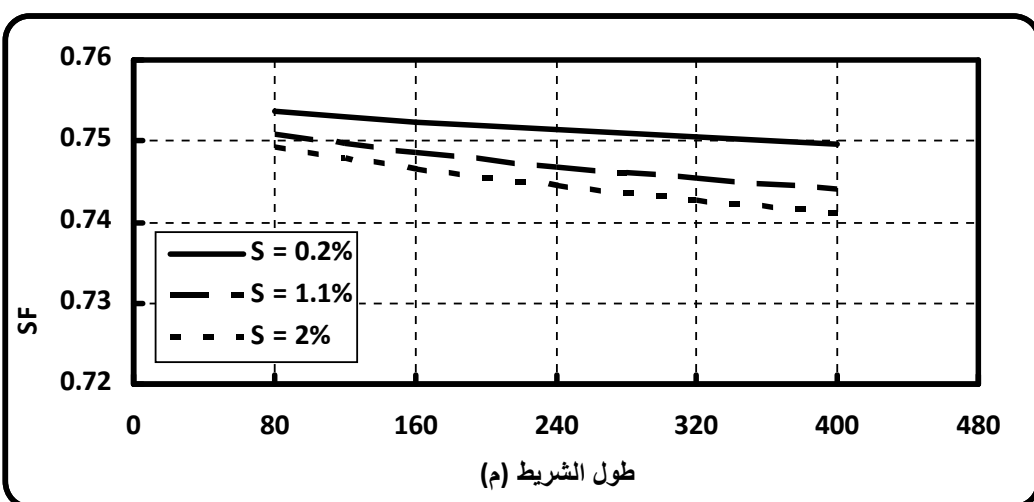
(6): تغير معامل الشكل الموحد مع طول الشريط لقيم مختلفة طول الشريط الكلي 0.5 و معدن الجريان لوحدة عرض الشريط  $0.54 \text{ } \frac{\text{دقيقة}}{\text{م}} \text{ و انحدار الشريط } \% 1.1$



(7): تغير معامل الشكل الموحد مع طول الشريط ولمعدلات جريان مختلفة لوحدة عرض الشريط في حالة نسبة مسافة التقدم إلى طول الشريط الكلي 0.543 و انحدار الشريط 1.1%



(8): تغير معامل الشكل الموحد مع طول الشريط طول الشريط الكلي 0.5 و معدن الجريان لوحدة عرض الشريط  $0.54 \text{ دقيقة}/\text{م}^3$  و انحدار الشريط 1.1%  
 $0.543$



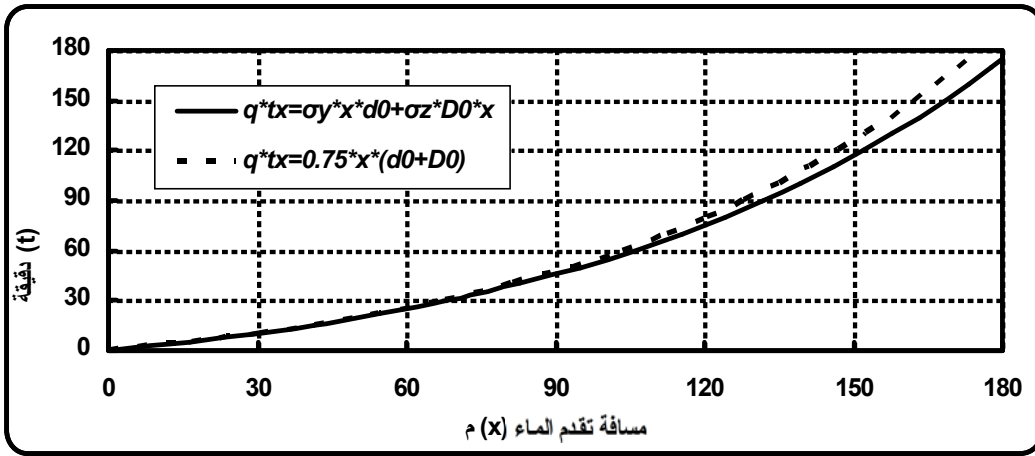
(9): تغير معامل الشكل الموحد مع طول الشريط يط في حالة الشريط الكلي 0.5 و معدن الجريان لوحدة عرض الشريط  $0.54 \text{ دقيقة}/\text{م}^3$  و اس دالة الارتشاح 0.16  
 $0.543$

الموازنة الحجمية بصيغة المعادلة (1) والصيغة المقترنة بالمعادلة (13) وللمقارنة بين البيانات [13] Ebrahimian et al. 2010) أشرطة الشريط ومعدل الجريان لوحدة عرض الشريط والانحدار الطولي للشريط ومعامل خشونة ماننك إضافة إلى زمن تقدم الماء إلى منتصف وكامل طول الشريط. واعتماداً على بيانات التقدم لنقطتين تم إيجاد أنس دالة التقدم  $b$  من المعادلة (9) وحساب ثابت دالة التقدم  $a$  من المعادلة (10). كما تم إيجاد كل من أنس دالة الارتشاح  $m$  (m) ومعامل دالة الارتشاح(c) بطريقة النقطتين [3] Elliott and Walker 1982 لتأمين البيانات اللازمة لتطبيق الموازنـة الحجمـية وبصيغـتي المعادلات (1) و (13). وهذه البيانات معروضة في الجدول(2) ولثلاثة أشرطة. واعتماداً على هذه البيانات تم إيجاد

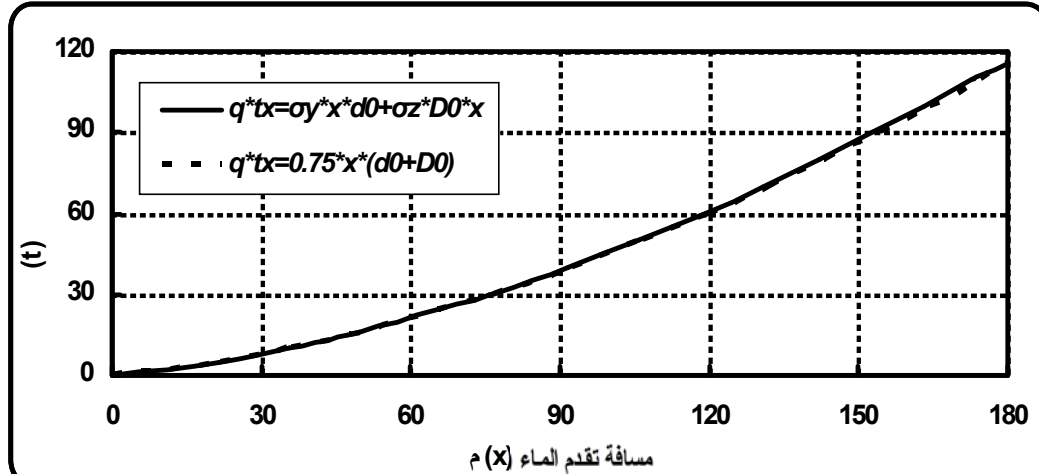
(2): البيانات المنشورة في ( Ebrajhimian etal.2010) <sup>X</sup>

الشريط	الشريط	الشريط الاول	طول الشريط (م)
170	170	180	معدل الجريان (لتر/ث/م)
3.02	3.10	1.66	( / )
0.0066	0.007	0.0082	( / )
0.02	0.04	0.04	
28.7	35.7	45.7	الشريط (دقيقة)
80	107	175.1	لماe لـكـامل طـول الشـرـيط (دـقـيقـة)
0.676	0.631	0.516	(b)
8.783	8.891	12.523	(a)
0.427	0.477	0.789	(m)
13.772	13.690	1.718	(c)

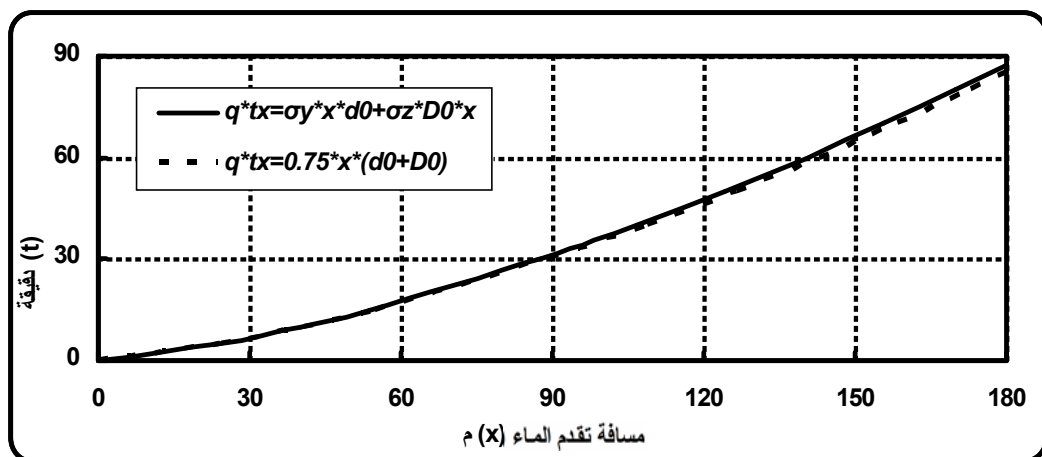
ة وذلك بصيغة كل من المعادلين (1) (13). (12-10) تغير مسافة تقدم الماء زمن تقدم الماء . [ بتطبيق كل من المعادلين (1) (13)  $q^*t_x = 0.75*x*(d_0+D_0)$  و  $q^*t_x = \sigma_y*x*d_0 + \sigma_z*D_0*x$ ] (13) مطلق التطابق بين المعادلين (13) (1) تبين من هذه



(10): تغير مسافة تقدم الماء(x) مع زمن تقدم الماء(t) دقيقة للشريط الاول بتطبيق كل من المعادلين (1) . [  $q^*t_x = 0.75*x*(d_0+D_0)$  و  $q^*t_x = \sigma_y*x*d_0 + \sigma_z*D_0*x$ ] (13)



(11): تغير مسافة تقدم الماء(x) م مع زمن تقدم الماء(t) دقيقة للشريط الاول بتطبيق كل من المعادلين (1) . [  $q^*t_x = 0.75*x*(d_0+D_0)$  و  $q^*t_x = \sigma_y*x*d_0 + \sigma_z*D_0*x$ ] (13)



(12): تغير مسافة تقدم الماء( $x$ ) م مع زمن تقدم الماء( $t$ ) دقيقة للشرط  $\alpha$  بتطبيق كل من المعادلين (1) . [  $q^*t_x=0.75*x*(d_0+D_0)$  و  $q^*t_x=\sigma_y*x*d_0+\sigma_z*D_0*x$  ] (13)

ما تقدم يتبيّن ان معامل الشكل الموحد يتغيّر طردياً مع كل من معدل الجريان ومعامل خشونة مانذك وعكسياً مع كل من انحدار الشرط واس دالة الارشاح . وذلك عندما تكون نسبة مسافة تقدم الماء إلى طول الشرط الكلّي  $< 0.4$ ، بينما نسبة مسافة تقدم الماء إلى طول الشرط الكلّي  $\leq 0.4$  فان تغيّر معامل الشكل الموحد يكون محدوداً وأن ( $\%87$ ) من قيم معامل الشكل الموحد تتغيّر فقط من 0.73 إلى 0.76 وبمعدل 0.747، حيث استخدم هذا المعدل لكي يجعل معادلة الموازنة الحجمية بصيغة المعادلة (13) [  $q^*t_x=0.75*x*(d_0+D_0)$  ] التي لاتحتاج الى بيانات لتقدم الماء والتي قدمت تطابق يكاد يكون تماماً بالمقارنة مع معادلة الموازنة الحجمية بصيغة المعادلة (1) [  $q^*t_x=\sigma_y*x*d_0+\sigma_z*D_0*x$  ].

.1 . م، احمد يوسف وحقي إسماعيل ياسين، (1992). "هندسة نظم الري الحقلـي"، دار الكتب للطباعة والنشر/ جامعة

2. Christiansen JE, Bishop AA, Kiefer FW Jr, Fok Yu-Si (1966) Evaluation of intake rate constants as related to advance of water in surface irrigation. Trans ASAE 9: 671±674
3. Elliott, R. L., and Walker, W. R., (1982). "Field Evaluation of Furrow Infiltration and Advance Functions". Trans. ASAE. 25 (2), 396–400. Engineering, ASCE. 123(4): 300-306.
4. Walker, W.R., Skogerboe, G.V., (1987)." Surface Irrigation. Theory and Practice'. Prentice-Hall Inc., Englewood Cliffs, New Jersey, p. 386.
5. Fok, Y. S., and Bishop, A. A. (1965). "Analysis of Water Advance in Surface Irrigation." Journal of Irrigation and Drainage Engineering, ASCE. 91(1), 99–116.
6. Valiantzas, J.D., (1997a). "Surface Irrigation Advance Equation: Variation of Subsurface Shape Factor". Journal of Irrigation and Drainage
7. Valiantzas, J.D., (1997b). "Volume Balance Irrigation Advance Equation: Variation of Surface Shape Factor". Journal of Irrigation and Drainage Engineering, ASCE. 123(4): 307-402.
8. Alazba, A. A. (1999). "Explicit Volume Balance Model Solution". Journal of Irrigation and Drainage Engineering, ASCE. 125(5), 273–279.
9. Theodor, S. S., A. J. Clemmens and E. Bautista (2011). "Shape Factors For Elements Of The Infiltration Profile In Surface Irrigation –A Generic Approach ". Journal of Irrigation and Drainage Engineering. Submitted September 29, 2010, accepted August 24, 2011.

10. Weibo, N., F. Liangjun and M. Xiaoyi, (2012)." Estimated Infiltration Parameters and Manning Roughness in Border Irrigation".2011 John Wiley & Sons, Ltd Irrig. and Drain. 61: 231–239.
11. ياسين، حفي إسماعيل، ونواں محمد جو ، (1997). "تحليل طور تقدم الماء في الري الشرطي". مجلة هندسة الرافدين - (5) (1).
12. أمين، احمد علي محمد، (2010). "تقدير دوال التقدم والتشرب في الري بالمرزو". رسالة ماجستير، قسم هندسة الموارد المائية/ كلية الهندسة/جامعة الموصل.
13. Ebrahimian,H. , A. Liaghat ,B. G.Alavijeh and F. Abbasi.(2010)" Evaluation of various quick methods for estimating furrow and border infiltration parameters" Irrig Sci 28:479–488.

تم اجراء البحث في كلية الهندسة = جامعة الموصل